

FRAMBOIDS ΣΙΔΗΡΟΠΥΡΙΤΗ ΣΤΟ ΚΟΙΤΑΣΜΑ ΛΙΓΝΙΤΗΣ ΤΗΣ ΠΕΡΙΟΧΗΣ ΠΛΑΚΙΑ-ΛΕΥΚΟΓΕΙΩΝ ΡΕΘΥΜΝΟΥ ΚΡΗΤΗΣ

N. K. Κούκουζας* και Σ. B. Σκουνάκης**

ΣΥΝΟΨΗ

Κατά την μικροσκοπική εξέταση στιλπνών τομών από το κοίτασμα λιγνίτη της λεκάνης Πλακιά-Λευκογείων Ρεθύμνου Κρήτης, διαπιστώθηκε η παρουσία, σε σημαντικό ποσοστό, θειούχων ορυκτών του σιδήρου. Από τα ορυκτά αυτά επικρατεί ο σιδηροπυρίτης ο οποίος εμφανίζεται με τις μορφές frambooids, ιδιόμορφων κρυστάλλων κατ' αυτήν την συμπαγή. Ο μαρκασίτης συναντάται σε περιορισμένη έκταση και αποραδικά. Οι μορφές frambooids, ιδιόμορφων κρυστάλλων προηγούνται στην απόθεση από τον συμπαγή σιδηροπυρίτη. Ο σχηματισμός των θειούχων ορυκτών οφείλεται είτε σε βακτηριακή αναγωγή που είναι και η επικρατέστερη είτε σε καθαρά χημική καθίζηση και γίνεται με την διαδικασία της αντικατάστασης οργανικού υλικού ή της πλήρωσης σε περιβάλλον αλκαλικό που ευνοεί την απόθεση του σιδηροπυρίτη. Η διαδικασία αυτή συνδέεται με την εκλεκτική σχέση των μορφών του σιδηροπυρίτη με την φύση του οργανικού υλικού των λιγνιτών. Με την διαδικασία της βακτηριακής αναγωγής και/ή με την διαδικασία της χημικής καθίζησης, σχηματίζονται τα frambooids και οι ιδιόμορφοι κρύσταλλοι ενώ με την διαδικασία της πλήρωσης και αντικατάστασης ο συμπαγής σιδηροπυρίτης. Ο σίδηρος μεταφέρεται προσροφημένος στα αργιλικά ορυκτά και γιά τον λόγο αυτό ευνοείται η απόθεση των σουλφιδών σε ζώνες λιγνιτικών στρωμάτων πλούσιες στα ορυκτά αυτά.

ABSTRACT

Sulfide minerals in coal seams of the Plakia-Levokogia area, Crete, are studied. Pyrite occurs as frambooids, as euhedral pyrite crystals and in massive form. Marcasite occurs in minor amounts and only occasionally. The first stage of sulfide mineralization appears to be the formation of framboidal pyrite and euhedral pyrite crystal followed by the formation of massive pyrite. The precipitation of pyrite, frambooids and euhedral pyrite crystals, is due to the bacterial activity and/or to chemical processes. Massive pyrite is observed as fillings or replacement forms of the organic material. The presence of clay minerals and the nature of the organic material, affect the sulfide preferential precipitation in some places.

ΕΙΣΑΓΩΓΗ

Στην περιοχή Πλακιά-Λευκογείων της νότιας Κρήτης συναντάται αξιόλογη

* Φειδίου 2, Μαρούσι 151 26 Αθήνα

** Πανεπιστήμιο Αθηνών, Τμήμα Γεωλογίας, 157 84 Αθήνα

Ψηφιακή Βιβλιοθήκη "Θεόφραστος" - Τμήμα Γεωλογίας, Α.Π.Θ.

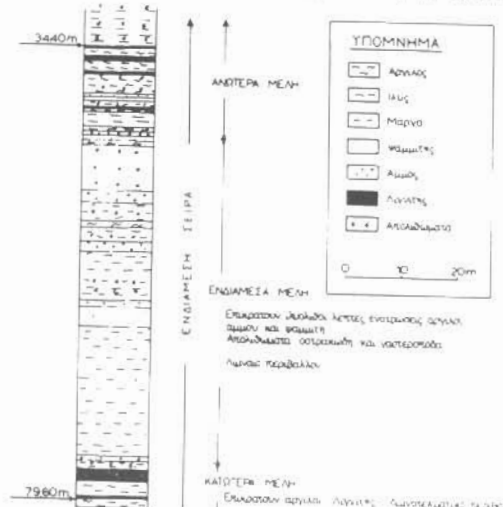
εμφάνιση λιγνιτικών στρωμάτων μεσομειοκαλνικής ηλικίας. Το κοίτασμα αυτό μολονότι περιορισμένης έκτασης, έχει ιδιαίτερο ενδιαφέρον γιά την αντιμετώπιση του ενεργειακού προβλήματος της Κρήτης. Όπως είναι γνωστό υπάρχουν δυσκολίες αντιμετώπισης του προβλήματος αυτού από το διασυνδεμένο σύστημα της πειραϊκής Ελλάδας και γι' αυτό μελετήθηκε η δυνατότητα αντιμετώπισής του από μικρές λιγνιτικές μονάδες.

Η έρευνα του κοιτάσματος έγινε από το ΙΓΜΕ και προσδιορίσθηκαν αποθέματα που ξεπερνούν το 1×10^6 τόνους. Από την έρευνα αυτή διαπιστώθηκε επίσης ότι η σημετοχή του θείου που φθάνει 4,8%. Μία σημαντική ποσότητα του θείου αυτού οφείλεται στον σιδηροπυρίτη που συναντάται στα λιγνιτικά στρώματα.

Η μελέτη των συνθηκών γένεσης του σιδηροπυρίτη και των μορφών με τις οποίες εμφανίζεται παρουσιάζει ιδιαίτερο ενδιαφέρον γιατί υπάρχει άμεση σύνδεση αυτών με το περιβάλλον και την πορεία της λιγνιτογένεσης.

ΣΤΡΩΜΑΤΟΓΡΑΦΙΑ-ΔΕΙΓΜΑΤΟΛΗΨΙΑ

Τα χαμηλότερα τμήματα της περιοχής Πλακιάς-Λευκογείων συνίστανται από ιζήματα μεσομειοκαλνικής ηλικίας τα οποία επίκεινται ασύμφωνα του υποβάθρου, λόγω ρηγματογόνου τεκτονισμού (ANGELIER 1976, KOYKOYZAS 1987). Ο λιγνίτης βρίσκεται στην ενδιάμεση σειρά των μεσομειοκαλνικών στρωμάτων τα οποία συνίστανται από ιλιούλιθο και λεπτές ενστρωσίες αργίλων, άμμων και φαμιτών. Διακρίνονται δύο ομάδες λιγνιτοφόρων ορίζοντων οι οποίες βρίσκονται αντίστοιχα στο ανώτερο τμήμα της σειράς (Εικ. 1). Το μέγιστο πάχος της ανώτερης ομάδας είναι 1m περίπου ενώ της



Εικ. 1. Στρωματογραφική στήλη της περιοχής Πλακιά-Λευκογείων
Fig. 1. Stratigraphic column of Plakia-Levkogia area

κατώτερης 6,8m.

Η δειγματοληψία γιά τη μελέτη των θειούχων ορυκτών έγινε σε δείγματα από διάφορες θέσεις και των δύο λιγνιτοφόρων ομάδων του κοιτάσματος. Ο προσδιορισμός των ορυκτών και των μορφών με τις οποίες εμφανίζονται έγινε σε στιλπνές τομές στο μεταλλογραφικό μικροσκόπιο. Παράλληλα πραγματοποιήθηκε εξέταση γιά τον προσδιορισμό των ορυκτών του άνθρακα και ακτινογραφική έρευνα γιά τον προσδιορισμό των αργιλικών ορυκτών των λιγνιτοφόρων στιλπάδων.

ΜΙΚΡΟΣΚΟΠΙΚΗ ΕΡΕΥΝΑ

Κατά την μικροσκοπική εξέταση των στιλπνών τομών διαπιστώθηκε η παρουσία των θειούχων ορυκτών σιδηροπυρίτη που επικρατεί και μαρκασίτη, ο οποίος εμφανίζεται σποραδικά και σε ορισμένες μόνο τομές.

Ο σιδηροπυρίτης εμφανίζεται με τις μορφές framboids, ιδιομόρφων κρυστάλλων και συμπαγής. Τα framboids αποτελούν την περισσότερο διαδεδομένη μορφή εμφάνισης του σιδηροπυρίτη και συναντώνται είτε μεμονωμένα είτε σε συσσωματώματα στάλλων και συμπαγής. Τα framboids αποτελούν την περισσότερο διαδεδομένη μορφή εμφάνισης του σιδηροπυρίτη και συναντώνται είτε μεμονωμένα είτε σε συσσωματώματα στάλλων και συμπαγής (Εικ. 2 α,β). Πρόκειται για σφαιρικούς σχηματισμούς διαμέτρου 5-1000μμ οι οποίοι συνίστανται από ιδιομόρφους έως υπειδιομόρφους κρυστάλλους σιδηροπυρίτη, με ένδειξη συμμετρίας εξαέδρων. Η κατανομή των framboids είναι είτε τυχαία είτε σε ορισμένες προσανατολισμένες κατευθύνσεις που αντιστοιχούν στην στρώση των λιγνιτικών στρωμάτων (Εικ. 2γ). Σε καμιά περίπτωση δεν διαπιστώθηκε η παρουσία των μορφών αυτών σε ρωγμές ή άλλες δευτερογενείς ασυνέχειες του λιγνίτη.

Οι ιδιόμορφοι κρύσταλλοι του σιδηροπυρίτη συναντώνται είτε υπό την μορφή συσσωματώσεων είτε μεμονωμένοι. Εμφανίζονται σαν προέόντα αντικατάστασης φυτικού υλικού. Είναι συνηθισμένη η ανάπτυξη των σε ορισμένες κατευθύνσεις που υποδηλώνουν αντιστοιχία με την στρώση του λιγνίτη. Το μέγεθος των κρυστάλλων ποικίλει και η συνηθισμένη γεωμετρία που εμφανίζουν είναι αυτή των εξαέδρων, σομβικών δωδεκαέδρων και οκταέδρων.

Ο συμπαγής σιδηροπυρίτης εμφανίζεται υπό την μορφή πλήρωσης ή αντικατάστασης φυτικών υλικών ή πλήρωσης ρωγμών των λιγνιτικών στρωμάτων (Εικ. 2δ). Στην περίπτωση της αντικατάστασης δημιουργούνται δακτυλοειδείς μορφές στις οποίες ο σιδηροπυρίτης αναπτύσσεται στην περιφέρεια, ενώ το κεντρικό τμήμα καταλαμβάνεται από το υπόλοιπο του φυτικού υλικού (Εικ. 3α,β). Σε ορισμένες περιπτώσεις η αντικατάσταση είναι πλήρης και η μορφή του σιδηροπυρίτη ανταποκρίνεται στο αρχικό φυτικό υλικό. Από την επικράτηση των δακτυλοειδών μορφών συμπεραίνεται ότι τα εξωτερικά ξυλώδη τμήματα ή οι επιδερμίδες των φυτικών υλικών, λόγω του μεγαλύτερου πορώδους των, είναι ιδιαίτερα επιδεικτικά στα φαινόμενα αντικατάστασης (Εικ. 3γ). Στην περίπτωση της πλήρωσης ρωγμών των λιγνιτικών στρωμάτων ο συμπαγής σιδηροπυρίτης εμφανίζεται υπό την μορφή φλεβιδίων. Επίσης συμπαγής σιδηροπυ-



Εικ. 2. a. Μεμονωμένα frambooids αιδηροπυρίτη. Λάδι X 700
 β. Συσσωματώματα από frambooids αιδηροπυρίτη. Λάδι X 600
 γ. Προσανατολισμένα συσσωματώματα frambooids αιδηροπυρίτη. Λάδι X 700
 δ. Απόθεση συμπαγούς αιδηροπυρίτη σε ρωγμές. Λάδι X 100

Εικ. 2. a. Framboids of pyrite, reflected light, ppl, oil X 700
 b. Cluster of pyrite frambooids, reflected light, ppl, oil X 600
 c. Cluster of pyrite frambooids along stratification band, reflected light, ppl, oil X 700
 d. Massive pyrite filling cleat, reflected light, ppl, oil X 100

Εικ. 3. a. Δακτυλοειδείς μορφές αντικατάστασης φυτικού υλικού από αιδηροπυρίτη
 λάδι X 300

β. Οι ίδιες μορφές X 600
 γ. Αντικατάσταση φυτικού υλικού (φουσινίτης) από αιδηροπυρίτη X 120
 δ. Νηματοειδείς μορφές συμπαγούς αιδηροπυρίτη. Λάδι X 600

Fig. 3. a. Ring forms from pyrite replacement of cellular structures, reflected light, ppl, oil X 300
 b. The same forms, reflected light, ppl X 600
 c. Pyrite cell filling in fusinite, reflected light, ppl X 120
 d. Massive pyrite in irregular form, reflected light, ppl, oil X 600

ρέτης εμφανίζεται υπό την μορφή λεπτών ακανονίστων νηματιδίων (Εικ. 3δ). Πρόκειται για σχηματισμό που προκύπτει από την πλήρωση των διακένων μεταξύ των φυτικών.

Ο μαρκασίτης συναντάται σε περιορισμένη έκταση σε σχέση με τον σιδηρίτη. Εμφανίζεται συνήθως υπό την μορφή κόκκων με ακτινωτή πολυκρυσταλλική δομή. Άλλη μορφή με την οποία εμφανίζεται είναι οι μεμονωμένοι κόκκοι ή μεγαλύτερες συγκεντρώσεις συνιστάμενες από συνδεδεμένους κρυστάλλους. Σε πολύ σπάνιες περιπτώσεις λεπτοί επιμήκεις κρύσταλλοι μαρκασίτη περιβάλλουν κόκκους σιδηροπυρίτη.

Κατά την μικροσκοπική εξέταση διαπιστώθηκε η διατήρηση των μορφών frambooids, ενώ δεν διαπιστώθηκαν ανακρυσταλλώσεις και άλλες μετατροπές του σιδηροπυρίτη. Αυτό οφείλεται στο γεγονός ότι τα φαινόμενα της διαγένεσης δεν ήταν έντονα για να επηρεάσουν τους σχηματισμούς αυτούς. Άλλωστε η χαμηλή θερμοκρασία και το πλαστικό περιβάλλον της λιγνιτογένεσης δεν ευνοούν τέτοια φαινόμενα.

Οι παραπάνω αναφερθείσες μορφές τούς σιδηροπυρίτη καθώς και ο μαρκασίτης όπως διαπιστώθηκε κατά την μικροσκοπική εξέταση, εμφανίζουν μια ευδιάκριτη προσμηση των θέσεων σχηματισμού των. Για τις μορφές frambooids οι εξινίτες αποτελούν την πρώτη επιλογή, ενώ σε περιορισμένη έκταση συναντώνται και σε βιτρινίτες. Ο συμπαγής σιδηροπυρίτης συναντάται σχεδόν αποκλειστικά σε βιτρινίτες και φουσινίτες-ημιφουσινίτες. Τα υλικά αυτά έχουν αξιοσημείωτο πορώδες γεγονός που ευνοεί τα φαινόμενα πλήρωσης και αντικατάστασης. Ο μαρκασίτης δείχνει προτίμηση σε στρώματα εξινίτη. Μια άλλη σημαντική παρατήρηση είναι η παρουσία των σουλφιδίων σε ζώνες πλούσιες σε αργιλικά ορυκτά. Στην προκειμένη περίπτωση προσδιορίσθηκαν τα ορυκτά καολινίτης, ιλλίτης, χλωρίτης και μικτές άργιλοι. Επίσης προσδιορίσθηκαν τα ορυκτά χαλαζίας, πλαγιόκλαστα μαρμαρυγίας και ασβεστίτης, ενώ δεν διαπιστώθηκε η παρουσία του μοντμοριλονίτη γεγονός που υποδηλώνει την επικράτηση αλκαλικού περιβάλλοντος κατά την λιγνιτογένεση.

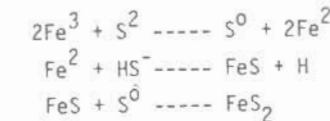
ΣΥΖΗΤΗΣΗ-ΣΥΜΠΕΡΑΣΜΑΤΑ

Ο μηχανισμός σχηματισμού σουλφιδίων σε στρώματα ανθράκων ταξινομείται σε δύο βασικές ομάδες (ALTSCHULER et al., 1983).

α. Στην καθίζηση με την διαδικασία της Βακτηριακής αναγωγής που είναι τυπική του συγγενετικού σταδίου. Τα σουλφίδια του σιδήρου με μορφή frambooidal και ιδιόμορφη γεωμετρία δημιουργούνται με την αναγωγή θειέκών ενώσεων από τη ενδιάμεσα διαλύματα ή από μετατροπή οργανικού θείου με βακτηριακή δραστηριότητα.

β. Στον σχηματισμό σουλφιδίων με καθαρό χημική διαδικασία από καθίζηση υπέρκορων διαλυμάτων ή την επανακινητοποίηση προηγούμενα σχηματισθέντων σουλφίδων.

Ο μηχανισμός αυτός σε αναγωγικά ιζηματογενή περιβάλλοντα εκφράζεται με τις αντιδράσεις:



Θεωρείται ότι ο FeS αντιπροσωπεύεται από τον μακιναβίτη, ο οποίος σχηματίζεται σαν ενδιάμεση φάση (BERNER, 1970). Η φάση αυτή σε περιβάλλοντα τύφφεσμάτων ανθράκων είναι μεταβατική με τελικό προϊόν τον FeS₂ υπό την μορφή του σιδηροπυρίτη ή του μαρκασίτη. Ο σιδηροπυρίτης σχηματίζεται σε αλκαλικό περιβάλλον ενώ ο μαρκασίτης σε δίξινο. Σε ενδιάμεσες τιμές pH σχηματίζονται και τα δύο ορυκτά (KULLERUD, 1977).

Από την εξέταση των θειούχων ορυκτών των λιγνιτικών στρωμάτων της περιοχής των λευκογείων προκύπτουν οι παρακάτω διαπιστώσεις.

1. Ο σιδηροπυρίτης αποτελεί την επικρατούσα μορφή ενώ ο μαρκασίτης συναντάται σε πολύ περιορισμένη έκταση και κατά τρόπο συμπτωματικό σε ορισμένες τομές.

2. Οι μορφές frambooids και ιδιομόρφων κρυστάλλων του σιδηροπυρίτη είναι προγενέστερες του συμπαγούς ενώ ο μαρκασίτης είναι το τελευταίο ορυκτό που σχηματίζεται.

3. Η παρουσία των σουλφιδίων σε ζώνες πλούσιες σε αργιλικά υλικά.

4. Η εκλεκτική σύνδεση των μορφών του σιδηροπυρίτη με τα ορυκτά του ανθρακα.

Η σχεδόν ολοκληρωτική επικράτηση του σιδηροπυρίτη έναντι του μαρκασίτη δείχνει ότι το περιβάλλον, τουλάχιστον, κατά την διάρκεια απόθεσης του μεγαλύτερου μέρους των θειούχων ορυκτών ήταν αλκαλικό. Σ' αυτό συνηγορεί και το γεγονός της απουσίας του μοντμοριλονίτη όπως αναφέρθηκε παραπάνω. Εξ άλλου από την ευρύτερη στρωματογραφική εξέλιξη της περιοχής λευκογείων για το Νεογενές επιβεβαιώνεται η επικοινωνία της λεκάνης λιγνιτογένεσης κατά ορισμένες περιόδους, με την θάλασσα, γεγονός που επιβεβαιώνει την επικράτηση αλκαλικού περιβάλλοντος.

Ο μαρκασίτης είναι αναμφίβολα μεταγενέστερος του σιδηροπυρίτη και ο σχηματισμός του οφείλεται σε αλλαγές του pH σε μικροπεριβάλλοντα. Οι συνθήκες δίξινου pH οφείλονται στα χουμικά οξέα που δημιουργούνται στο στάδιο της ανθρακοποίησης του οργανικού υλικού, κατά το οποίο σημειώνονται τοπικά σημαντικές αλλαγές του pH. Ανάλογη άποψη για την δημιουργία του μαρκασίτη δέχονται οι QUEROX, et al., (1989) για τις λιθάνθρακες από την Maestrazgo Basin της ΝΑ Ισπανίας. Σύμφωνα με την άποψη αυτή ο σχηματισμός του μαρκασίτη γίνεται στο διαγενετικό στάδιο.

Από όσα αναφέρθηκαν παραπάνω σχετικά με τον μηχανισμό καθίζησης των σουλφιδίων, η χημική διαδικασία σχετίζεται άμεσα με το πορώδες των οργανικών υλικών των λιγνιτικών και τα διάκενα των οργανικών στρωμάτων. Σ' αυτό οφείλεται και η εκλεκτική σχέση συμπαγούς σιδηροπυρίτη με τα στρώματα φουσινιτών-ημιφου-

σινιτών, τα οποία από την φύση των εμφανίζουν αυξημένο πορώδες.

Ο σχηματισμός των frambooids είναι αποτέλεσμα της βακτηριακής διάσης, η οποία είναι υπεύθυνη γιά την παραγωγή του H_2S από την αναγνή των θειικών ενώσεων και των διαλυμάτων της λεκάνης. Η αντίδραση του παραγόμενου H_2S , σε κατάλληλες συνθήκες pH, με τον σίδηρο των ενδιαμέσων διαλυμάτων οδηγεί στην καθίζηση του σιδηροπυρίτη. Η καθίζηση γίνεται με τη μορφή μεμονωμένων ή αποικιών frambooids στις θέσεις (MASSAAD, M. 1974). Η εκλεκτική παρουσία των frambooids σε ζώνες αργιλικών ορυκτών των λιγνιτικών στρωμάτων, χωρίς καμία άλλη συσχέτιση με δομές των λιγνιτικών υλών, συνηγορεί στην άποψη της βακτηριακής γένεσης.

Την άποψη αυτή έχουν δεχθεί και οι Boctor et al (1976) οι οποίοι θεωρούν ότι τα frambooids είναι αυθιγενή και δημιουργούνται κατά το βιοχημικό στάδιο της λιγνιτογένεσης. Η διαδικασία αυτή λαμβάνει χώρα κατά τη διάσκελα της απόθεσης της τύρφης.

Από την έρευνα που πραγματοποιήθηκε στον λιγνίτη των Λευκογείων διαπιστώνεται ότι η απόθεση των frambooids, προηγείται της απόθεσης του συμπαγούς σιδηροπυρίτη (Εικ. 4). Η άποψη αυτή είναι γενικά αποδεκτή και διαπιστώνεται και στις



Εικ. 4. Απόθεση συμπαγούς σιδηροπυρίτη υπό την μορφή συνδετικού υλικού των frambooids, λάδι X 700

Fig. 4. Massive pyrite cementing frambooids, reflected light, ppl, oil X 700.

σύγχρονες αποθέσεις τύρφης με θαλάσσια επίδραση, η οποία εξασφαλίζει σχετικά υψηλές τιμές pH (Casagrande et al. 1977). Ανάλογοι σχηματισμοί frambooids έχουν διαπιστωθεί και σε μολασσικά ιζήματα της περιοχής Έβρου (Μιχαηλίδης κ.λ.π. 1989).

Όσον αφορά στην προέλευση του σιδήρου φάίνεται ότι το σημαντικότερο μέρος του μεταφέρεται στη λεκάνη με τη μορφή προσδροφημένων οξειδίων στα αργιλικά ορυκτά. Αυτό συμφωνεί και με την προαναφερθείσα παρουσία των σουλφιδίων σε ζώνες αργιλικών ορυκτών. Η δυνατότητα προέλευσης του σιδήρου από τοντικά διαλύματα ή από την αποσύνθεση των φυτικών υλικών, χωρίς να αποκλείεται, πρέπει να είναι περιορισμένης σημασίας (WIESE R.G. and FYSE W.S. 1986).

Ευχαριστία. Ως συγγραφείς ευχαριστούν τον Γεωλόγο του Ι.Γ.Μ.Ε. κ. Α. Παπαστύρου για τις στρωματογραφικές πληροφορίες.

ΒΙΒΛΙΟΓΡΑΦΙΑ

- ALTSCHULER, Z. SCHNEPF M., SILBER C. AND SIMON D., (1983). Sulfur diagenesis in Everglades peat and origin of pyrite in coal. Science, 221: 221-227.
- ANGELIER, J. (1976). Sur l'existence d'une neotectonique en compression dans l'arc égéeen méridional (Crète, Karpathos) et ses conséquences.-Bull. soc. géol. t. XVIII n° 2 p. 373-381. France Paris.
- BERNER R.A. (1970). Sedimentary pyrite formation Ann. J. Sci, 268:1-23.
- BOCTOR, N.Z., KULLERUD, G. and SWEANY, J.L. (1976). Sulfide Minerals in Seelyville Coal III, Chinook Mine, Indiana. Mineral. Deposita 11, 249-266.
- CASAGRANDE, D.J., SIEFERT, K., BERSCHINSKY, Ch and SUTTON, N., (1977). Sulfur in peat forming systems of the Okefenokee Swamp and Florida Everglades. Origin of sulfur in coal. Geochim. Cosmochim. Acta, 41:161-167.
- KΟΥΚΟΥΖΑΣ N. (1987). Λιγνιτικό κοίτασμα Λευκογείων Ρεθύμνου Κρήτης. Διπλωματική εργασία Εκδ. Πανεπιστήμιο Αθηνών.
- KULLERUD, G., (1967). Sulfide studies in Researchs in Geochemistry, vol. II 286-321. John Wiley & Sons, Inc, New York.
- MASSAAD, M. (1974). Framboidal pyrite in concentrions, Min. Dep., 9, 87-89.
- MICHAILIDIS K. TRONTSIOS G. and SKLAVOUNOS S. (1980). The occurrence of frambooidal pyrite in the Onshore molassic sediments of the Evros Area, Thrace Country, N.E. GREECE.
- 2nd Hellenic-Bulgarian Symposium on the Geological and Physicogeographical problems of the Rhodope Massif.
- QUEROL, X., CHINCHON, S. and LOPEZ-SOLER, A. (1989). Iron sulfide precipitation sequence in Albian coals from the Maestrazgo Basin, southeastern Iberian Range northeastern Spain. Intern. Journal of Coal Geology, 11 (1989) 171-189, Els. Science Publ. B.V. Amsterdam.
- WIESE R.G. and FYSE W.S. (1986). Occurences of iron sulfides in Ohion coals. Intern. Journal of Coal Geology, 6 (1986) 251-276, Elsev. Science Rubl. B.V. Amsterdam.